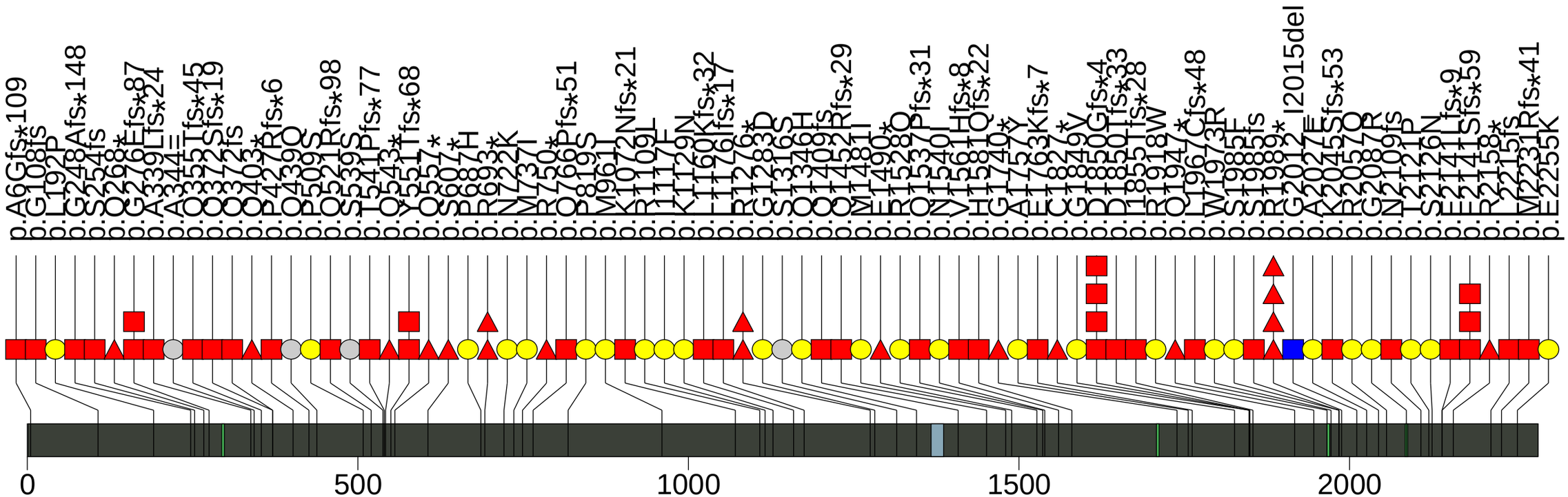
p.A6Gfs*109
p.G108fs
p.L192P
p.G248Afs*148
p.S254fs
p.Q268*
p.G276Efs*87
p.A339Lfs*24
p.A344=
p.Q355Tfs*45
p.Q372Sfs*19
p.Q372fs
p.Q403*
p.P427Rfs*6
p.Q439Q
p.P509S
p.Q521Rfs*98
p.S539S
p.L541Pfs*77
p.Q543*
p.Y551Tfs*68
p.Q557*
p.S607*
p.P687H
p.R693*
p.N732K
p.M737I
p.R750*
p.Q756Pfs*51
p.P819S
p.M961I
p.K1072Nfs*21
p.R1109L
p.L1117F
p.K1129N
p.L1160Kfs*32
p.L1176Ifs*17
p.R1256*
p.G1283D
p.S1316S
p.Q1346H
p.Q1409fs
p.Q1452Rfs*29
p.M1481I
p.E1490*
p.R1528Q
p.Q1537Pfs*31
p.N1540I
p.Y1561Hfs*8
p.H1580Qfs*22
p.G1749*
p.A1753Kfs*7
p.E1763*
p.C1826*
p.G1849V
p.D1850Gfs*4
p.D1850Tfs*33
p.I1855Tfs*28
p.R1918W
p.Q1947*
p.L1967Cfs*48
p.W1973R
p.S1985F
p.S1985fs
p.R1989*
p.I2015del
p.G2017E
p.A2045Sfs*53
p.K2057Q
p.R2087R
p.G2109fs
p.N2116P
p.L2126N
p.S2141Lfs*9
p.E2141Sfs*59
p.R2158*
p.L2215fs
p.M2231Rfs*41
p.E2255K
0
500
1000
1500
2000
AT−rich interactive domain−containing protein 1A.
Nuclear localization signal. {ECO:0000269|PubMed:2
LXXLL.
Silent
In_Frame_Del
Frame_Shift_Ins
Nonsense_Mutation
Frame_Shift_Del
Missense_Mutation